

# 퍼지기법을 이용한 네트워크 침입 탐지 시스템 오류경고메시지 축소 모델 설계 및 구현

박민호, 성경, 소우영  
한남대학교 컴퓨터 공학과

## Design and Implementation of False Alerts Reducing Model Using Fuzzy Technique for Network-based Intrusion Detection System

Min-Ho Park, Sung kyung, Woo-Young Soh  
Dept. of Computer Science, Hannam University

### 요 약

최근 몇 년 동안 이루어진 네트워크 및 인터넷 시장의 발전과 더불어 빈번히 발생하는 시스템에 대한 침입을 방어하기 위한 여러 도구들이 개발되어왔다. 이러한 도구들 중 침입탐지시스템은 시스템내의 불법침입을 탐지하는 시스템으로, 침입탐지시스템의 문제점인 과도한 오류경고메시지 발생으로 인하여 침입 판단의 어려움이 따르고 있다. 본 논문에서는 오류경고메시지의 축소를 위한 방법으로 인증된 네트워크 내부에서 발생하는 긍정오류 탐지를 축소하기 위해 각 서버의 취약성을 다수의 판단자에 의한 오답 확률수치를 입력받아 퍼지기법을 이용하여 취합, 판단자의 불확실성을 감소시킨 필터링룰을 생성 및 적용하여 긍정오류 경고메시지를 축소시킬 수 있는 모델을 설계 및 구현 하므로써 탐지의 정확성 향상에 활용할 수 있을 것이다

### 1. 서론

최근 급속한 전산망의 확산은 개인정보 누설, 정보시스템의 비인가 사용, 전산망의 해킹, 주요정보 파괴와 변조 같은 역기능이 증대되어 사회적으로 심각한 문제를 초래하게 되었다. 특히 국내외적으로 정보시스템 및 전산망의 해킹은 다양한 형태로 나타나고 있으며 고도의 침해 기술을 이용한 주요 정보 유출 및 파괴로 인한 피해 정도가 심각하여 빠르고 정확한 침입 탐지가 요구되고 있다.

현재 인트라넷의 주요 보안 기술로는 가상사설망(VPN : 인터넷과 인트라넷간 안전한 통신망 제공), 방화벽(FireWall : 인트라넷 보호의 일차적인 방어벽), 침입탐지시스템(IDS : 이차적인 보안 대책)으로 이루어진다. 이러한 기술중 네트워크 기반 침입탐지시스템의 대표적인 한계점은[1] 경고메시지 Flooding에 의한 서비스거부 공격, 하나의 공격에 다수의 중복 메시지 발생, 긍정오류(False Positive)로 인한 경고메시지의 과다 발생 등이 있다. 현재 경고메시지 축소에 관한 연구동향[8]은 서버의 취약성을 이용한 미리 정의된

상황별 평가, 경고메시지 전후 연관관계를 이용한 유사성 평가 방법등으로 이루어지고 있다. 본 연구에서는 경고메시지의 과다 발생을 해결하기 위하여, 인증된 인트라넷에서의 각 서버별 취약성에 대한 서버 관리자, 인트라넷 보안 관리자, 정보보안 전문가등 판단자들의 취약성에 대한 오답 확률수치를 퍼지기법을 이용하여 취합 하고 판단자의 주관적 해석에 의한 불확실성을 제거한 필터링룰을 생성 적용하여 각 서버의 취약성에 의해 발생하는 긍정오류 경고메시지를 축소시키고자 한다. 본 논문은 다음과 같이 구성된다. 기존 네트워크 기반 침입탐지시스템의 문제점과 연구동향을 제시한 서론에 이어 2장에서는 관련 연구를 통해 기존 침입 탐지 시스템의 분류와 특징에 대한 분석과 퍼지기법의 적용방안에 대해 알아보고 3장에서는 경고메시지 축소를 위한 서버 취약성에 대한 퍼지기법을 이용한 필터링 모델을 설계 및 구현하고 4장에서는 실험 및 결과, 5장에서는 결론 및 향후 연구 방향에 대하여 기술한다.

### 2. 관련 연구

침입탐지시스템이란 컴퓨터 시스템 또는 네트워크 상에서 의심스러운 행위를 감시함으로써 허가되지 않은 사용자가 불법으로 접속하여 정보를 조작, 오용 및 남용 등의 불법 행위들을 조기에 발견하고 이에 대한 대응을 실시간에 처리할 목적으로 하는 시스템으로 데닝(Denning)[7]은 정의 하였다.

COAST[6]에 의한 침입탐지시스템 분류는 원시 데이터의 근원지에 따라 호스트 기반 방식과 네트워크 기반 방식 시스템으로 구분된다.

2.1 침입탐지시스템 비교 및 한계

◆ 침입탐지시스템 장단점 비교

구분	장점	단점	비고
호스트 기반	-정확한 탐지 -암호화/스위치 환경에 적합 -하드웨어 추가 불필요	-다수 운영체제 지원 필요 -추가적인 시스템부하 -긍정오류 많음	상용 침입 탐지 시스템
네트워크 기반	-트래픽 감시 위치에 설치 -운영체제에 독립적 -구현 및 관리 용이 -긍정오류 적음	-암호화/스위치 환경에 적합 -기가급 고속 네트워크 -센싱 패킷 손실 발생	중 60%가 네트워크 방식 사용

◆ 침입탐지시스템 한계

① 알려진 공격만 탐지 : 네트워크 침입탐지시스템의 가장 심각한 문제는 알려진 공격 이외의 경우에는 속수무책이라는 점이다. 새로운 공격 유형에 대한 공격 패턴이 식별되고 규칙집합 데이터베이스에 추가되어야 공격에 대한 탐지 및 대응이 가능하다.

② 관리 오버헤드 : 가장 큰 문제는 침입탐지시스템에서 발생하는 긍정오류(False-Positive)의 수이다. 어떤 전산망에서는 몇 사람이 하루 종일 투입하여 보고된 데이터를 분석하기도 한다. 이러한 상황은 나이지고 있기는 하지만 가까운 미래에도 여전히 문제는 남아 있을 듯 하다.

③ 침입탐지시스템 우회가능성 : 네트워크 침입탐지시스템은 진행 중인 잠재적인 공격에 대한 수많은 데이터를 저장해야 한다. 특히, 네트워크 침입탐지시스템의 내부 저장장치 용량을 초과하는 경우가 발생하면, 저장이 가능한 상태로 복구되는 순간까지는 공격이 얼마든지 가능하다.

2.2 퍼지기법의 개념 및 적용방안

퍼지이론은 현상의 불확실한 상태를 그대로 표현해주는 방법으로써 그중 퍼지척도론은 1972년 일본의 소게노(Sugeno)[5]교수에 의하여 제안된 비가법적 집합함수(nonadditive set function)로써, 고전적 척도의 정의 중 가법성(additivity)를 제외시킨 척도로, 퍼지척

도 및 이에 대한 적분인 퍼지적분은 주로 인간의 주관적 평가문제의 해석에 응용되어 좋은 결과를 보여 주고 있다.

◆ 퍼지정도의 척도

퍼지정도의 척도[4]란 불확실성의 정도를 수치적으로 표현한 것으로, 퍼지정도 척도를 나타내는 함수  $f$ 는 다음과 같이 표현된다.  $f: P(X) \rightarrow R$

이 때,  $P(x)$ 는 전체집합  $X$ 의 모든 부분집합을 모은 멱집합(power set)이다. 퍼지정도 척도가 가져야할 세 가지의 공리는 다음과 같다.

공리 1 :  $f(A) = 0$  if  $A$ 가 보통집합(crispset)이다

공리 2 : 단조성  $A < B$ 이면  $f(A) \leq f(B)$

두 개의 퍼지집합  $A, B$ 에서  $A$ 가  $B$ 보다 불확실성이 적다면,  $f(A)$ 가  $f(B)$ 보다 작아야 한다.

공리 3 : 퍼지정도(불확실한 정도)가 최대이면, 퍼지정도 척도  $f(A)$ 가 최대가 되어야 한다.

이상의 공리를 바탕으로 퍼지집합  $A$ 의 퍼지정도를 측정할 수 있는 척도  $f(A)$ 를 정의해 보면 다음과 같다.

$$f(A) = - \sum_{x \in X} (\mu_A(x) \log_2 \mu_A(x) + [1 - \mu_A(x)] \log_2 [1 - \mu_A(x)])$$

이 척도  $f(A)$ 값을 다음과 같이 정규화(normalize)하여

$$F(A) = \frac{f(A)}{|X|} \quad (|X|: \text{cardinality})$$

정규화된 척도는 다음과 같은 관계를 갖는다.

$$0 \leq F(A) \leq 1$$

이 척도는 퍼지정도 척도의 공리 1과 공리 2를 만족한다.

◆ 퍼지기법의 적용방안

본 연구에서는 퍼지정도의 척도를 적용하여 판단자의 주관적 해석에 의한 불확실성을 줄이고자 시도하였다. 전체집합을 서버내 각각의 취약성에 대한 판단자의 선택 가능한 오탐 판단값으로 보고, 판단자가 판단한 값들의 집합  $A$ 의 원소들을 살펴보면, 0.1~0.9까지의 값들을 갖는다[표2].

수치	오탐 발생 확률
0.1	오탐 이 10% 정도 발생
0.3	오탐 이 30% 정도 발생
0.5	오탐 이 50% 정도 발생
0.7	오탐 이 70% 정도 발생
0.9	표2. 오탐 발생 확률

이 값들은 절대적인 값이 아닌, 사용자의 주관에 의해 판단된 값이므로 퍼지집합이고, 일반적으로 서버내 각각의 취약성에 대한 경고메시지 중 오탐확률이 아주 큰 경우와 아주 작은 경우는 직관적으로 판단할 수 있다. 따라서 0.1이나 0.9의 경우에는 불확실성이 0.3, 0.5, 0.7의 경우에 비해 상대적으로 적다고 볼 수

있다. 따라서 이 집합A는 퍼지정도 척도의 공리2를 만족한다. 공리1에 대해 만약 집합 A를 보통집합으로 본다면, 집합의 원소들은 두 가지의 상태로 나타낼 수 있다. 즉, 오탐이다(1)와 오탐이 아니다(0)로 구분할 수 있는데, 이 경우 퍼지정도 척도를 도출해 보면 0이 된다. 또한 공리 3에 대해, 집합 A에서 오탐확률이 0.5인 경우 퍼지정도가 최대라 말할 수 있고, 오탐확률 0.1 또는 0.9인 경우 퍼지정도가 최소라고 말할 수 있다. 이 두 경우에  $f(A)$ 를 계산해 보면, 0.5인 경우 1이 도출되고, 0.1 또는 0.9인 경우 0에 가까운 값이 도출된다. 따라서 공리 3도 만족한다. 결과적으로, 집합 A에 대한 퍼지정도 척도는 퍼지정도 척도가 가져야 할 세 개의 공리를 만족하므로, 이러한 이론으로 판단자의 주관적 해석에 의한 불확실성을 줄일 수 있다.

### 3. 퍼지기법을 이용한 긍정오류 축소

#### 필터링 모델 설계 및 구현

방화벽과 가상사설망을 이용 인증된 인트라넷 망의 각 서버들에 대한 취약성을 분석 필터링룰을 생성하는데 보안 관리자 한사람의 주관적 해석에 의한 필터링을 생성 및 적용은 서버 관리자나 정보보호 전문가 등 다수의 의견이 배제되었기 때문에 오탐에 대한 불확실성이 높다. 이를 해결하기 위한 방법으로 각 서버들의 취약성 분석을 서버 관리자, 보안 관리자, 정보보호 전문가 등 다수의 판단자의 취약성에 대한 의견을 취합 퍼지정도의 척도를 적용하여 판단자의 불확실성을 감소시킨 필터링룰을 생성 및 적용할 수 있다.

CVE ID	CVE 이름	CVE 설명	CVE 심각도	CVE 발생일	CVE 수정일	CVE 출처	CVE 링크	CVE 상태	CVE 평가
2003-247	401-100	java	7	java	java	java	java	java	[0.2]
2003-248	401-100	java	8	java	java	java	java	java	[0.2]
2003-249	401-100	java	9	java	java	java	java	java	[0.2]
2003-247	401-100	java	7	java	java	java	java	java	[0.2]
2003-248	401-100	java	8	java	java	java	java	java	[0.2]
2003-249	401-100	java	9	java	java	java	java	java	[0.2]
2003-247	401-100	java	7	java	java	java	java	java	[0.2]
2003-248	401-100	java	8	java	java	java	java	java	[0.2]
2003-249	401-100	java	9	java	java	java	java	java	[0.2]
2003-247	401-100	java	7	java	java	java	java	java	[0.2]
2003-248	401-100	java	8	java	java	java	java	java	[0.2]
2003-249	401-100	java	9	java	java	java	java	java	[0.2]
2003-247	401-100	java	7	java	java	java	java	java	[0.2]
2003-248	401-100	java	8	java	java	java	java	java	[0.2]
2003-249	401-100	java	9	java	java	java	java	java	[0.2]

그림1. 오탐확률 수치 입력을 위한 취약성 분석틀

퍼지정도를 도출하기 위해 각 판단자들은 [표2]를 기준으로 [그림1]의 틀을 이용 서버의 취약성에 대해 오탐 발생 확률수치를 입력한다.

입력된 판단자들의 수치를 취합하여 서버의 취약성에 대한 퍼지정도의 척도를 구해보면, 1번째 취약성 항목에 대한 판단집합을  $S_i=(A_1, A_2, A_3, \dots, A_n)$

$n$ =판단자의 수,  $A_j$ = $j$ 번째 판단자가  $i$ 번째 항목에 대

해 입력한 수치  $S_i$ 에 대한 퍼지정도의 척도를 구해보

면 위 퍼지정도의 척도식[본논문 관련연구2.2]에 의해  $f(S_i)=-\sum_{j=1}^n(A_j \log_2 A_j + [1-A_j] \log_2 [1-A_j])$ 가 되고  $f(S_i)$

를 정규화 시키면 정규화된 퍼지정도의 척도

$$F(S_i) = \frac{f(S_i)}{n}, 0 \leq F(S_i) \leq 1$$

가 된다. 이  $F(S_i)$ 가 판단자

의 불확실성의 정도가 된다. 따라서 불확실성의 정도를 감소시킨 판단집합  $US_i$ 는

$$US_i = (A_i - [A_i \times F(S_i)], 1 \leq i \leq n, n = \text{판단자의수})$$

가 된다.

따라서 취약성 항목의 오탐 여부를 가리기 위한 취합된 값  $V_i$ 는 취약성 항목에 대한 판단집합  $US_i$ 에 대해

$$V_i = \frac{\sum US_i}{n}$$

( $V_i$  :  $i$ 번째 항목에 대한 취합된 판단값)

이 된다.

$V_i$ 를 경고메시지 필터링을 생성에 적용하기 위해 위

에서 구한 각 취약성 항목에 대한 정규화된 퍼지정도의 척도  $F(S_i)$ 를 취합하면  $UF = \frac{\sum F(S_i)}{i}$ ,  $i$ =항목수이

된다.  $UF$ 는 전체 항목에 대한 불확실성의 정도라 말

할 수 있고, [표2]의 90%이상 오탐확률수치에서  $UF$

를 제외시킨 값을 오탐을 판단하기 위한 기준으로 활용할 수 있다. 오탐판단 기준값을 구하면

$$MDS(\text{MissDetectionStandard}) = 0.9 - (0.9 \times UF)$$

가 되고

$MDS$ 를 기준으로 하여  $V_i$ 가  $MDS$ 와 같거나 크면 오

탐이라 판단할 수 있고, 작으면 오탐이 아니라고 판단

할 수 있다.

전체적인 취약성 분석 시스템 구성[그림2]은 인트라넷 내부 각 서버들의 취약성에 대한 판단자들의 오탐 수치를 퍼지기법을 이용 취합하여 MDS를 기준으로

구분	내용
ALLOW	경고메시지를 허용한다
DROP	경고메시지를 제거한다
IP	IP Address
PORT	Port Number
PROTOCOL	Protocol Name

표3. 필터링을 형식

[표3]의 필터링을 형식에 맞춰 룰을 생성 하고 침입탐지 시스템에서 수집된 경고데이터를 리포팅하기 전에 적용하여 오탐에 의한 경고메시지를 축소시킨다.

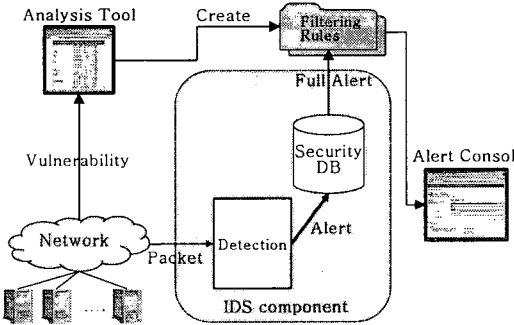


그림2. 취약성 분석 필터링 시스템 구성도

#### 4. 실험 및 결과

실험을 위해 리눅스 RedHat 8.0(커널 2.4.18-14)에 실시간 트래픽 분석과 IP 네트워크 상에서 패킷 로깅이 가능한 가벼운 침입탐지시스템으로 유명한 Snort\_1.9.1을 이용하며 경고메시지 리포팅을 위하여 Snort센서의 로그를 그래프와 HTML형태로 웹을 통하여 보여주는 ACID툴을 이용하였다.

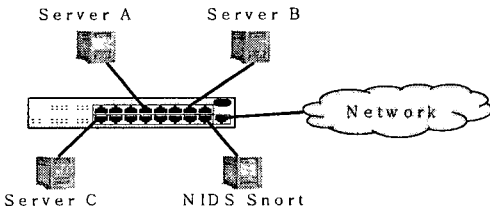


그림3. 실험 환경

[그림3]와 같은 실험 환경에서 3일간 발생한 경고메시지 데이터를 ACID를 통해 리포팅한 실험전 결과에 비해 서버A, B, C의 취약성 필터링룰을 생성 ACID에 적용시킨 결과 경고메시지가 40%정도 축소되었음을

알 수 있다[그림4]. 결과적으로 현재 네트워크망에서 발생하는 다수의 경고메시지는 긍정오류로 인한 오탐임을 알 수 있다. 따라서 경고메시지의 축소를 좀 더 빠른 침입판단을 할 수 있다.

실험 전	실험 후
<b>Sensors: 1</b> <b>Unique Alerts: 68 ( 8 categories )</b> <b>Total Number of Alerts: 1315</b> <ul style="list-style-type: none"> <li>• Source IP addresses: 62</li> <li>• Dest. IP addresses: 5</li> <li>• Unique IP links: 66</li> <li>• Source Ports: 871                             <ul style="list-style-type: none"> <li>○ TCP (866) UDP (5)</li> </ul> </li> <li>• Dest. Ports: 13                             <ul style="list-style-type: none"> <li>○ TCP (11) UDP (4)</li> </ul> </li> </ul>	<b>Sensors: 1</b> <b>Unique Alerts: 23 ( 5 categories )</b> <b>Total Number of Alerts: 653</b> <ul style="list-style-type: none"> <li>• Source IP addresses: 35</li> <li>• Dest. IP addresses: 4</li> <li>• Unique IP links: 37</li> <li>• Source Ports: 411                             <ul style="list-style-type: none"> <li>○ TCP (411) UDP (0)</li> </ul> </li> <li>• Dest. Ports: 8                             <ul style="list-style-type: none"> <li>○ TCP (0) UDP (0)</li> </ul> </li> </ul>

그림4. 실험 결과

#### 5. 결론 및 향후 연구방향

최근 국내외적으로 전산망에서 주요 정보 유출 및 파괴를 막기 위해 침입탐지시스템을 도입을 하고 있다. 그러나 현재의 침입탐지 시스템은 경고메시지의 과다 발생으로 인한 침입판단의 어려움이 존재하고, 이러한 오탐으로 인해 실제적인 침입행위를 탐지하지 못하는 실수를 범할 확률이 높아진다. 이에 본 연구에서는 이러한 오탐 경고메시지를 줄이기 위해 퍼지기법을 이용한 다수의 판단자의 오탐 확률수치를 취합하여 판단자의 주관적 해석에 따른 불확실성을 감소시킨 필터링룰을 생성 및 적용하여 긍정오류로 인한 경고메시지를 축소시킬 수 있었다. 본 연구는 향후 침입탐지 시스템의 성능개선에 활용될 수 있으며, 더 나아가서 침입방어 시스템의 가장 큰 요구사항인 탐지의 정확성 향상에도 활용할 수 있다.

향후 연구 과제로 하나의 공격에 다수의 경고메시지가 발생하는데, 이를 축소시키기 위한 유사성분석과 공격유형을 고려한 경고메시지 통합방법에 관한 연구가 필요하다.

#### [참고문헌]

- [1] 이규연, “네트워크 기반 침입탐지 시스템의 경고메시지 축약 구조”, 포항공과대학교, 2002
- [2] 한석재, “리눅스 기반의 실시간 침입탐지 시스템 설계 및 구현”, 한남대학교, 2002
- [3] 최상용, “퍼지기법을 이용한 정보시스템 취약성 평가 도구 설계 및 구현”, 한남대학교, 2003
- [4] 이광형, 오길록 “퍼지이론 및 응용”, 홍릉과학출판사, 1991. 3
- [5] 菅野道夫, “퍼지척도의 퍼지적분” 計測自動學會論文集 8, 1972.

- [6] COAST(Computer Operations, Audit, and Security Technology),  
<http://www.cerias.purdue.edu/coast/coast.html>
- [7] 허영준, "IDS 기술 동향", 한국전자통신연구원 보안계이트웨이연구팀, 2002
- [8] Frederic Cuppens, "Managing alerts in a multi-intrusion detection environment", 17th Annual Computer Security Applications Conference, 2001
- [9] Herve Devar and Andreas Wespi, "Aggregation and Correlation of Intrusion Detection Alerts", RAID 2001, Springer-Verlag Berlin Heidelberg, 2001